

多孔性媒質中におけるイオンの拡散と拡散係数の測定法

京都大学工学部 正員 岩井重久
京都大学工学部 正員 ○寺島泰

放射性廃液をセメントで固化した場合、 ^{60}Co , ^{65}Zn , ^{106}Ru などの核種はセメント水和物と物理化学的に強固に結合つかず、多孔体であるセメント固化体内部からの拡散溶出作用が起らなければ、放射線影響学的に問題となる ^{90}Sr , 3H は比較的容易に外部へ拡散溶出する。こうしたこと事実や拡散溶出の機構については本年度年次講演会で発表したが、今回は拡散溶出を推定する最も重要な拡散係数の決定法について考察を加えた。

一般に、多孔体単位面積当たりの拡散速度を Fick の方程式で表現した場合の拡散係数を有効拡散係数（以下單に拡散係数と呼ぶ）といふが、この測定法としては、多孔質試料の両側における液中濃度差を一定に保ち、定常状態において試料を貫通する拡散量を測定する（図-1）のが原理的には最も簡単である。しかししながら等圧下で液中濃度差を一定に保つこと、また微量の拡散量を測定するうえで実験的には多くの困難がある。

実験操作上比較的簡単な方法としては、図-2 によると、多孔体試料の一面向の液中濃度を一定に保ち、水頭差のない状態で他の一面から一定体積の液中に拡散溶出する速度を、濃度変化から測定することができる。しかし、この場合には、非定常的な拡散速度と拡散係数とを結びつけための理論的解析が困難となる。さて、この多孔質試料の厚さが小くなると、多孔体内における濃度分布の匀配が直線的となり、一面への拡散溶出が始まる時刻以後の濃度変化の基礎式、すなはち濃度変化は式(1), (2)式で表わされる。

$$\frac{dC}{dt} = \frac{D}{L} (C_0 - C) \quad \dots \dots (1) \quad C = C_0 \left\{ 1 - \exp \left(- \frac{D}{L^2} t \right) \right\} \quad \dots \dots (2)$$

ここで D は拡散係数、 L は試料厚、 t は槽の長さである。こうして解析法は、理論的には正確さを欠くが、実験的には簡単な方法であり、一種の簡便法として拡散係数のオーダーを知る程度には役立つかとも思われる。

別の方法としては、図-3 によると、一定体積の液中から一定体積の多孔体内へ、あるいは逆に、多孔体内から液中へ拡散する速度を濃度変化から求めめる方法が考えられるか、解析手法としては同一であるので、ここの前後の場合を比較する、まず図-3 によると、多孔体の厚さを L_1 、液中は常に完全混合されており、その濃度を $C(t)$ とする。多孔体内における拡散の基礎式を初期、境界条件は、それ

$$\frac{\partial C}{\partial t} = D \frac{\partial^2 C}{\partial z^2} \quad \dots \dots (3) \quad \left. \frac{\partial C}{\partial z} \right|_{z=0} = 0 \quad \dots \dots (4)$$

図-1

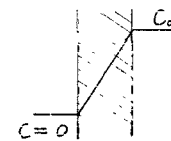


図-2

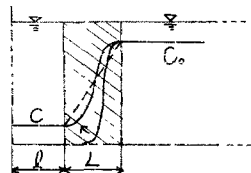
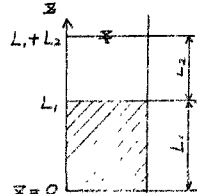


図-3



$$C(z, 0) = 0, \quad 0 \leq z \leq L, \quad \dots \dots (5) \quad C(L_1, t) = \bar{C}(t) \quad \dots \dots (6)$$

式(3)～(6)のようになります。他方、初期の液中濃度を \bar{C}_0 、液体積を V 、多孔体が液体に接する面積を S とすると、任意時間における液中濃度は(7)式で表わされ、 $V/S = L_2$ とすると(8)式の関係が得られます。

$$\bar{C}(t) = \bar{C}_0 - \frac{S}{V} \int_0^t D \frac{\partial C}{\partial z} \Big|_{z=L_1} dt \quad \dots \dots (7) \quad \frac{\partial C}{\partial z} \Big|_{z=L_1} = - \frac{L_2}{D} \frac{\partial \bar{C}}{\partial t} \quad \dots \dots (8)$$

以上の(3)～(8)式を Laplace 変換し、変換した(4)～(8)式を(3)式に適用するとヒルベルトの定理により、多孔体内濃度分布を求めると(9)式のようになります。また(6)式の関係および $\bar{C}(0) = \bar{C}_0$ の関係を適用すると、液濃度の変化は(10)式のようになります。

$$C(z, t) = \frac{L_2 \bar{C}_0}{L_1 + L_2} + \sum_{n=1}^{\infty} \frac{2 \bar{C}_0 \cos(\beta z / L_1, \beta_n)}{(1 + L_1^2 / L_2 + L_2^2 / L_1, \beta_n^2) \cos \beta_n} e^{-(\beta z / L_1)^2 D t} \quad \dots \dots (9)$$

$$\frac{\bar{C}(t)}{\bar{C}_0} = 1 + \sum_{n=1}^{\infty} \frac{2(e^{-\beta_n^2 T} - 1)}{1 + L_1^2 / L_2 + L_2^2 / L_1, \beta_n^2} \quad \dots \dots (10)$$

ここで β_n は、 $\tan \beta + \lambda \beta = 0$ の正根、 $T = Dt / L_1^2$ 、 $\lambda = L_2 / L_1$ である。これが、 λ が決まればこれに対応する β_n を求め、T に対する $\bar{C}(t)/\bar{C}_0$ の変化を求めるのが本題だ。実験結果から容易に D の値が得られる。現在、いくつかの入の値に対する β_n 、(10) 式を用いて $\bar{C}(t)/\bar{C}_0$ の計算を KDC-2 にて行なっている。Weaver は、同様な条件下で古典的解法より、(3)式を解釈し、 $\lambda = 1$ の場合について $m = 4$ までの β'_m 、 B_m を用いて \bar{C}/\bar{C}_0 の変化を求めている。 β'_m は $\tan \beta' - \beta' = 0$ の正根であり、 B_m は β'_m や他の整数 n を関連して複雑な計算過程を経て算出されている。また White や Friedman 等は、(10) 式を Acrylamide polymer gel, Cellulose acetate gel 中心の散粒のイオソノ抗酸化剤を Weaver が用いた \bar{C}/\bar{C}_0 の変化図を用い、 $T < 0.05$ の範囲で算出している。

次の方程として、上述の方法における境界条件(4)の影響を無視するような条件のもとで実験を行なう方が考えられる。実験操作上は(1)の方法と異ならないが、解析的手法は以下のようになります。つまり(3)において下向きに z 軸をとり、液-多孔体の接する面を $z=0$ とすとすれば、初期・境界条件は(11)～(14)式で表わされます。

$$C(\infty, t) = 0 \quad \dots \dots (11) \quad C(z, 0) = 0, \quad 0 \leq z \leq L \quad \dots \dots (12)$$

$$C(0, t) = \bar{C}(t) \quad \dots \dots (13) \quad \frac{\partial C}{\partial z} \Big|_{z=0} = \frac{L_2}{D} \frac{\partial \bar{C}}{\partial t} \quad \dots \dots (14)$$

これらの条件を用い Laplace 変換にと、(3)式を解き、多孔体内の濃度分布を求め、(14)式の条件を適用すると、液濃度の変化は(15)式の如くとなる。

$$\frac{\bar{C}(t)}{\bar{C}_0} = e^{\frac{Dt}{L_2}} \left(1 - \operatorname{erf} \frac{\sqrt{Dt}}{L_2} \right) = e^{(T')^2} \left(1 - \operatorname{erf} T' \right) \quad \dots \dots (15)$$

$L_1 = L_2$ の場合 ($\lambda = 1$) について、 $T' (= T) < 0.4$ における \bar{C}/\bar{C}_0 を求めると、 $T = 0.15$ で(15)式と結果と小数以下4桁まで一致する。詳細は講演時観察の予定。